

水平力を受ける板とラーメンの合成構造の立体解析

大阪市立大学 正員 倉田宗幸 大阪市立大学 学生 上田正男
 大阪工業大学 教授 岡村宏一 大阪市立大学 学生 酒井守雄
 大阪市立大学 教授 島田功

1. まえがき 前報¹⁾において床板とラーメンの合成された構造と、2次元弹性理論、ならびに平板および梁の曲げ理論を併用した立体制解法を提案し、鉛直外力が作用する簡単な応用例を示した。本報は、板および梁内に任意分布水平力を受ける場合を考慮した基礎式²⁾を用い、図-2に示すよるな対称構造にBody forceが作用する場合の応用例を示す。

立体制解法は従来、有効幅を仮定する方法であり、構造各部の曲げおよびScheibe応力が任意、載荷状態に対して解析される。

2. 板の基礎式 板の曲げによるたわみ W 、および面内に働く応力を示す応力関数中の一般形は次のように表わされる。

$$W = W_p + \frac{1}{D} \sum_m (\bar{A}_m \sinh \alpha_m y + \bar{B}_m \cosh \alpha_m y + \bar{C}_m \alpha_m y \sinh \alpha_m y + \bar{D}_m \alpha_m y \cosh \alpha_m y) \sin \alpha_m x \\ + \frac{1}{D} \sum_n (\bar{A}'_n \sinh \beta_n x + \bar{B}'_n \cosh \beta_n x + \bar{C}'_n \beta_n x \sinh \beta_n x + \bar{D}'_n \beta_n x \cosh \beta_n x) \sin \beta_n y$$

$$\phi = \phi_p + \sum_m (A_m \sinh \alpha_m y + B_m \cosh \alpha_m y + C_m \alpha_m y \sinh \alpha_m y + D_m \alpha_m y \cosh \alpha_m y) \sin \alpha_m x \\ + \sum_n (A'_n \sinh \beta_n x + B'_n \cosh \beta_n x + C'_n \beta_n x \sinh \beta_n x + D'_n \beta_n x \cosh \beta_n x) \sin \beta_n y$$

鉛直外力および x, y 方向の水平力を含めると P, t_x, t_y とし、次の如く展開する。

$$P = \sum_m \sum_n L_{mn} \sin \alpha_m x \sin \beta_n y \quad t_x = \sum_m \sum_n T_{mn} \cos \alpha_m x \sin \beta_n y \quad t_y = \sum_m \sum_n T'_{mn} \sin \alpha_m x \cos \beta_n y$$

基礎式の特解は $W_p = \frac{1}{D} \sum_m \sum_n \frac{1}{(\alpha_m^2 + \beta_n^2)^2} L_{mn} \sin \alpha_m x \sin \beta_n y$

$$\phi_p = \frac{1}{R} \sum_m \sum_n \frac{1}{(\alpha_m^2 + \beta_n^2)^2} \left\{ \alpha_m \left(\frac{\beta_n^2}{\alpha_m^2} - 1 \right) T_{mn} + \beta_n \left(\frac{\alpha_m^2}{\beta_n^2} - 1 \right) T'_{mn} \right\} \sin \alpha_m x \sin \beta_n y$$

$$\text{ただし, } a, b: x, y \text{ 方向の边長 } \quad \alpha_m = \frac{m\pi}{a} \quad \beta_n = \frac{n\pi}{b}$$

板の断面力 (τ - x に M_x, M_{xy}, M_{xy} , τ - y に Q_x, Q_y , 换算せん断力 V_x, V_y) は板の曲げ理論より求まる。板の Scheibe 応力 ($\sigma_x, \sigma_y, T_{xy}$) は τ - x に σ_x たり τ - y に σ_y たり求まる。

$$\sigma_x = \frac{\partial \phi}{\partial y^2} + \frac{1}{R} \int t_x dx, \quad \sigma_y = \frac{\partial \phi}{\partial x^2} + \frac{1}{R} \int t_y dy, \quad T_{xy} = -\frac{\partial^2 \phi}{\partial x \partial y}$$

式中 積分の項は荷重の伝達力を示す。

3. ラーメンの基礎式

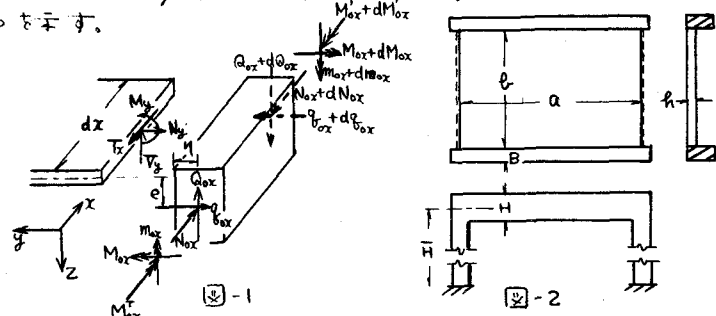
図-1 に示す如く、微小部分の釣合式 及び梁の曲げ理論よりラーメンの断面力、および歪、変形が定められる。

4. 板と梁の連続条件

板と梁の接合部における板

1) 倉田、岡村、島田：板とラーメンの合成構造の立体制解 23回年次学術講演会 貴4年

2) 岡村：板とBeam系の合成構造の立体制解法ならびに、板と板の合成による橋脚解析への応用 23回年次学術講演会 貴4年



および梁、変形を級数展開し、1)たわみ(w)、2)面内変形(u or v)、3)回転角($\frac{dw}{dx}$ or $\frac{du}{dx}$)、4)歪(ϵ_x or ϵ_y)の合成条件式を導き、板の基礎式に含まつて未定常数($\bar{A}_m, \bar{B}_m, \bar{C}_m \dots D_m$)を決定する。

5. 計算例 図-2に示すように相対する2辺($x=0, x=a$)単純支承、2辺($y=0, y=b$)ラーメンに接合された構造物が、 X 方向にBody force F を受ける場合の解析を行う。本例では板と梁の接合部における梁の直角方向の面内拘束を無視した。 $(\sigma_y|_{y=0}=0)$

5-1 計算諸元 表-1に示すような正方形板($a=b$)についての計算結果を示す。

5-2 計算結果 立体解析による各断面力の分布

表-1

b/a	H/b	$B/2$	H/B	H/a	I_y/I_z
1	3	0.05	2	40	12

ボルティン比 $V=0.2$

図-3, 4, 5, 6 である。鉄筋コンクリート標準示方書による有効幅を仮定したラーメン構造として解析し、梁の幹部(外側矩形部分)のみ担する曲げモーメント、および軸力ヒート解析によるものと比較したもののが図-7, 8, 9である。断面力計算に際し、ラーメン解析と本解釈の双方についてばかりの中立軸の位置を比較したのが図-9である。

a) 枠の応力($M_x, M_y, \sigma_x, \sigma_y$) 対称性あり 1/4 図示

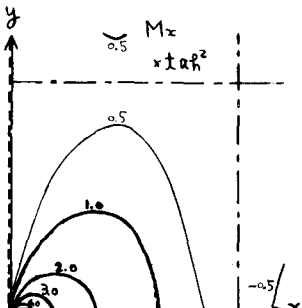


図-3

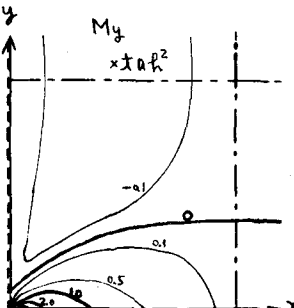


図-4

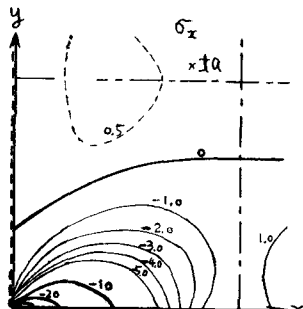


図-5

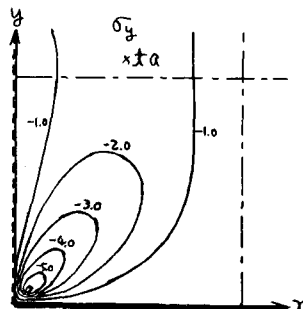


図-6

b) 梁の断面力(M_{ox}, N_{ox})

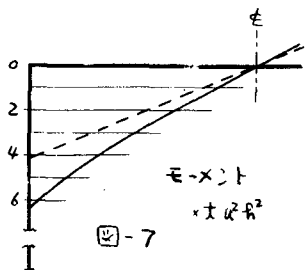


図-7

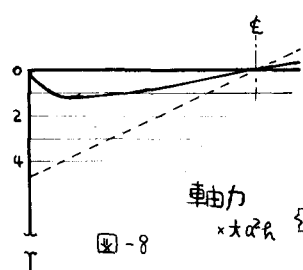
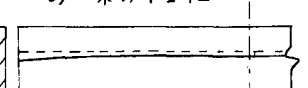
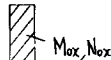


図-8



c) 梁の中立軸

—— 立体解析 (M_{ox}, N_{ox})
---- ラーメン解析 (M'_{ox}, N'_{ox})



6. 結論 図-3, 4, ..., 9 は Body force を受けた場合の完全合成構造としての応力の特徴が把握できる。図-7, 8, 9 に示す如く、本計算例ではラーメン理論とは、ばかりの差異が見らる。最近の高速化した壁ナ計算機を使用により、このよりは立体解析も容易である。